



# اندازه‌گیری دقیق خواص مکانیکی میکروساختارهای بازپختی فولاد آلیاژی AISI D6 به کمک روش غیرمخرب فراصوتی

محمد حمیدنیا<sup>۱</sup>, فرهنگ هنرور<sup>۲\*</sup>, حمید خرسند<sup>۳</sup>

۱- دانشجوی کارشناسی ارشد مهندسی مکانیک، دانشگاه صنعتی خواجه نصیرالدین طوسی، تهران

۲- دانشیار مهندسی مکانیک، دانشگاه صنعتی خواجه نصیرالدین طوسی، تهران

۳- استادیار مهندسی مواد، دانشگاه صنعتی خواجه نصیرالدین طوسی، تهران

\* تهران، صندوق پستی ۱۹۹۹-۱۹۳۹۵، honarvar@kntu.ac.ir

**چکیده-** آگاهی از خواص مکانیکی فولادها، به دلیل استفاده بسیار وسیع از آن‌ها در صنایع گوناگون، امری ضروری و مهم است. معمولاً از روش‌های مخرب و هزینه‌بر برای اندازه‌گیری این خواص استفاده می‌شود. در این مقاله، برای اندازه‌گیری خواص مکانیکی فولاد AISI D6 از روش غیرمخرب فراصوتی استفاده شده است. نمونه‌هایی از این فولاد ساخته شده و با اعمال فرایندهای مختلف عملیات حرارتی، ساختارهایی با دانه‌بندی و ساخته‌های مختلف ایجاد شده است. برای پیش‌بینی خواص مکانیکی از جمله مدول الاستیسیته ( $E$ )، مدول برشی ( $G$ )، ضریب پواسون ( $\sigma$ ) و مدول حجمی ( $K$ ، در این میکروساختارها، سرعت موج طولی و عرضی توسط آزمون فراصوتی با روش‌های غوطه‌وری و تماسی و با دقت بسیار بالا اندازه‌گیری شده است. نتایج بدست آمده نشان می‌دهند که به کمک روش غیرمخرب فراصوتی می‌توان خواص مکانیکی فولادهایی را که میکروساختارهای آن‌ها اختلاف بسیار جزیی با هم دارند با دقت اندازه‌گیری نمود.

**کلیدواژگان:** خواص مکانیکی فولاد، روش غیرمخرب فراصوتی، آزمون غوطه‌وری و تماسی، فولاد AISI D6

## Accurate measurement of mechanical properties of tempered microstructures of AISI D6 alloy steel by ultrasonic nondestructive method

M. Hamidnia<sup>1</sup>, F. Honarvar<sup>2\*</sup>, H. Khorsand<sup>3</sup>

1- MSc. Student, Mech. Eng., K. N. Toosi Univ. of Tech., Tehran, Iran

2- Assoc. Prof., Mech. Eng., K. N. Toosi Univ. of Tech., Tehran, Iran

3- Assis. Prof., Material Eng., K. N. Toosi Univ. of Tech., Tehran, Iran

\* P. O. B. 19395-1999 Tehran, honarvar@kntu.ac.ir

**Abstract-** In certain applications, it is important to measure the mechanical properties of steel with high accuracy. These properties are usually measured by destructive methods. However, the small changes made during heat treatment processes are not usually detectable by destructive methods. Ultrasonic nondestructive testing is an alternative method that can be used for measuring the mechanical properties of steels. In this paper, the ultrasonic method has been used for measurement of mechanical properties of AISI D6 steel samples processed by various heat treatment processes. Each sample has a different microstructure and hardness due to its specific heat treatment. To find the mechanical properties, the velocity of longitudinal and shear ultrasonic waves were measured for each sample. Comparison of the results obtained from ultrasonic measurements with those available in reference tables shows that the ultrasonic nondestructive method can measure the elastic properties of AISI D6 samples with high accuracy. Results show by ultrasonic nondestructive method could achieve the mechanical properties of microstructures with very detail difference.

**Keywords:** Mechanical Properties of Steel, Ultrasonic Nondestructive Method, Immersion and Contact Testing, AISI D6 Steel

در این مقاله، برای بررسی اثر تغییرات جزئی میکروساختارها بر روی خواص مکانیکی و آکوستیکی فولاد AISI D6 تمام نمونه‌ها با روشی یکسان تنش‌زدایی و سختکاری شده‌اند و تنها متغیر بین آن‌ها دمای بازپخت بوده است. با اندازه‌گیری دقیق سرعت‌های فرماحتوی طولی و عرضی، اختلاف بسیار جزئی خواص مکانیکی میکروساختار نمونه‌ها تشخیص داده شده است.

## ۲- روش تحقیق

### ۲-۱- آماده‌سازی نمونه‌ها

در این تحقیق، فولاد ابزار سردکار پرکربن و پر کرم AISI D6 (DIN 1.2436) با ترکیب شیمیایی داده شده در جدول ۱، به دلیل کاربردهای زیاد صنعتی، جهت بررسی و مطالعه انتخاب شده است.

جدول ۱ ترکیب شیمیایی فولاد AISI D6

C	Si	Mn	Cr	W
۰/۱	۰/۲۵	۰/۳	۱۱/۵	۰/۷

برای ایجاد میکروساختارهای مختلف در فولاد AISI D6، شش نمونه استوانه‌ای شکل با قطر ۲۵ و ارتفاع ۶ میلی‌متر به گونه‌ای با واپرکات ماشینکاری شده‌اند که سطح نمونه‌ها کاملاً موازی و صاف باشند.

### ۲-۲- عملیات حرارتی

در فولاد AISI D6، به دلیل ترکیب شیمیایی خاص، می‌توان با تغییر فرایند سختکاری و بازپخت، میکروساختارهای مختلفی ایجاد کرد. بدین منظور پنج نمونه از قطعات ساخته شده مطابق پروسه شکل ۱ عملیات حرارتی شده‌اند. به علت تنش‌های داخلی ایجاد شده در ضمن سریع سردشدن، تقریباً تمامی قطعات سخت‌شده نسبتاً ترد و شکننده‌اند و باید قبل از استفاده بازپخت شوند. در فرایند بازپخت، دما و زمان حرارت‌دادن، به ترکیب شیمیایی فولاد، ابعاد قطعه و خواص مکانیکی مورد نظر بستگی دارد [۱۰-۱۲].

در تمام نمونه‌ها، مرحله تنش‌زدایی و سختکاری و بازپخت مرحله اول یکسان بوده و تنها پارامتر متغیر دمای بازپخت مرحله دوم است.

## ۱- مقدمه

فولاد ابزار سردکار، پرکربن و پر کرم AISI D6، به دلیل ترکیب شیمیایی خاص خود، برای سخت‌شدن و بازپخت<sup>۱</sup> مناسب است و پس از بازپخت، برای یک استحکام کششی معین، چفرمگی خوبی دارد. وجود ۱۱/۵ درصد کرم مقاومت سایشی آن را بسیار بالا برد و به همین دلیل بیشتر برای ساخت و شکل‌دهی مواد اصلی از قبیل فلزات، پلاستیک‌ها و چوب به کار می‌رود [۱].

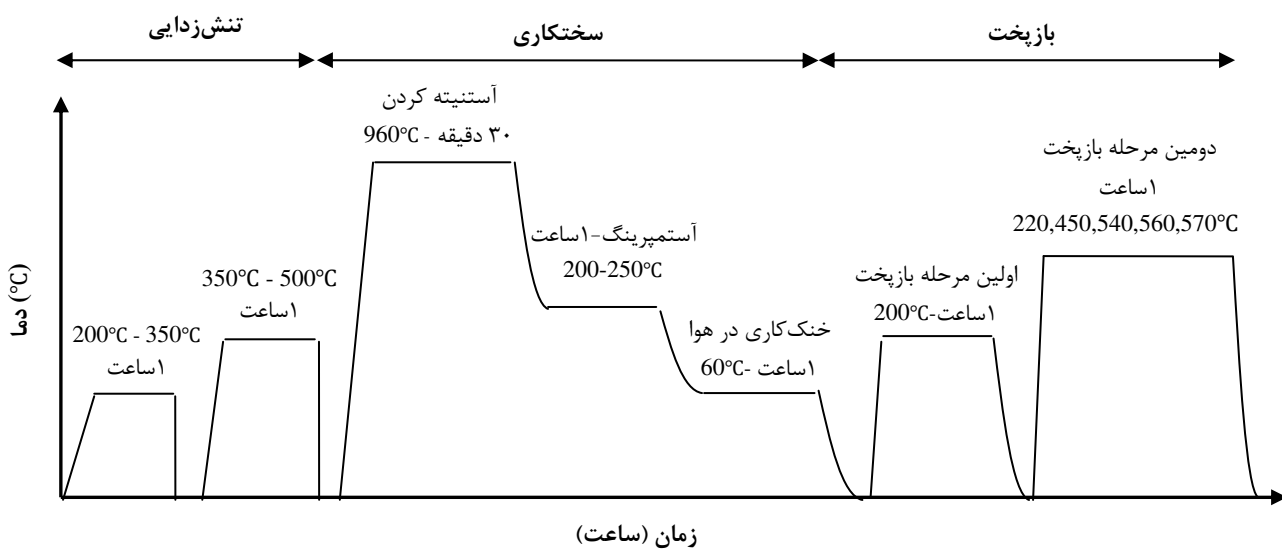
زمانی که به منظور بهبود خواص این فولاد نمونه‌ها در معرض عملیات حرارتی قرار می‌گیرند، میکروساختارهای آن‌ها تغییر می‌کند که دانستن خواص مکانیکی بسیار مفید و کاربردی است. این ویژگی‌ها عمولاً با روش‌های غیرمخرب، علاوه بر اینکه باعث تغییر خواص مکانیکی و فیزیکی میکروساختارها می‌شوند، قابلیت تشخیص تغییرات جزئی میکروساختارها را نیز ندارند [۲].

با مطالعه نحوه انتشار و پراکندگی امواج فرماحتوی، می‌توان اطلاعاتی راجع به خواص فیزیکی و مکانیکی میکروساختارها به دست آورد [۳].

در سالیان اخیر، مطالعات مختلفی برای تخمین خواص مکانیکی مواد با روش غیرمخرب فرماحتوی صورت گرفته است. زمانی که در یک قطعه میکروساختارهای معینی وجود دارد، امواج فرماحتوی طولی و عرضی، هنگام عبور از میکروساختار، سرعت مشخصی خواهند داشت. با تعیین اختلاف جزئی سرعت در میکروساختارهای مختلف، می‌توان به اختلاف بسیار ناچیز خواص مکانیکی میکروساختارها پی برد.

راجندران [۴] برای به دست آوردن خواص مکانیکی مواد در دماهای بالا (دماه کوره)، مورثی [۵] برای دست یافتن به خواص نیمونیک ۲۶۳، کارون [۶] برای یافتن خواص میکروساختارهای مختلف سرامیک آلومینیم-زیرکونیم، زاوراه [۷] برای به دست آوردن خواص مکانیکی سرامیک کاربید سیلیکون در دماهای بالا، مورو [۸] برای بررسی خواص فازهای مختلف در فولادهای 304L و 316L، گور [۹] برای شناسایی خواص میکروساختارهای مختلف فولادهای AISI 4140 و AISI 5140 از روش اندازه‌گیری سرعت امواج فرماحتوی استفاده کرده‌اند.

### 1. Tempering



شکل ۱ فرایند عملیات حرارتی فولاد AISI D6

داشته می‌شود تا دگرگونی آستینیت به بینیت به صورت کامل انجام شود [۱۰-۱۲]. سپس نمونه‌ها در هوا قرار گرفته شده‌اند تا به تدریج سرد شده و به درجه حرارت  $10^{\circ}\text{C} \pm 60$  بررسی شوند. در صنعت، برای اطمینان از بهبود چرمگی، نمونه‌ها را در دو مرحله بازپخت می‌کنند. در این تحقیق، در مرحله اول بازپخت همه نمونه‌ها به مدت یک ساعت در دمای  $200^{\circ}\text{C}$  بازپخت شده‌اند. در مرحله دوم بازپخت، نمونه ششم در دمای  $10^{\circ}\text{C} \pm 10^{\circ}\text{C}$ ، نمونه پنجم در دمای  $45^{\circ}\text{C} \pm 10^{\circ}\text{C}$ ، نمونه چهارم در دمای  $5^{\circ}\text{C} \pm 10^{\circ}\text{C}$ ، نمونه سوم در دمای  $10^{\circ}\text{C} \pm 5^{\circ}\text{C}$  و نمونه دوم در دمای  $10^{\circ}\text{C} \pm 5^{\circ}\text{C}$ ، همگی به مدت ۱ ساعت بازپخت شده‌اند تا در آن‌ها میکروساختارهای مختلف با دانه‌بندی و سختی متفاوت ایجاد شود. برای عملیات حرارتی همه نمونه‌ها از کوره گازی و حمام نمک خنثی با اسم تجاری GS540R2 (باریم کلراید) استفاده شده است. استفاده از این نوع کوره‌ها بهترین راه برای جلوگیری از تغییر ترکیب شیمیایی فولاد است.

### ۳-۲- سختی‌سنجدی

بعد از اتمام عملیات حرارتی، همه نمونه‌ها با روش ویکرز سختی‌سنجدی شده‌اند. در سختی‌سنجدی ویکرز قطرهای اثر هرم را به کمک یک میکروسکوپ اندازه گرفته و میانگین آن‌ها را حساب می‌کنیم و با استفاده از فرمول (۱) عدد سختی محاسبه می‌گردد [۱۵ و ۱۶].

شیب حرارتی حاصل از گرم کردن در فولاد ابزار پرآلیاژ AISI D6، شیب حرارتی را در حجم قطعه پدید می‌آورد که امکان تشکیل تنش و حتی ترک در قطعه را زیاد می‌کند [۱۰-۱۱]. برای جلوگیری از این رویداد، نمونه‌ها مطابق استاندارد در دو مرحله به صورت زیر پیش‌گرم شده‌اند: مرحله اول به مدت ۱ ساعت در دمای  $300^{\circ}\text{C}$  تا  $350^{\circ}\text{C}$  و مرحله دوم به مدت ۱ ساعت در دمای  $350^{\circ}\text{C}$  تا  $500^{\circ}\text{C}$ ، تا تعادل حرارتی در نقاط مختلف قطعات به وجود آید. میزان اتحال کاربید و در نتیجه درصد کربن و عناصر آلیاژی محلول در آستینیت در دمای سخت کردن، بستگی به دما و زمان آستینیت کردن دارد [۱۱، ۱۰]. در اینجا با استفاده از منابع [۱۳] و [۱۴] این دما و زمان انتخاب شده و همه نمونه‌ها در دمای  $960 \pm 10^{\circ}\text{C}$  به مدت ۳۰ دقیقه آستینیت شده‌اند. دمای بالای آستینیت موجب کاهش میزان کاربید آلیاژی و افزایش عناصر آلیاژی محلول در زمینه آستینیت و در نهایت افزایش سختی‌پذیری می‌شود [۱۰-۱۱]. از آنجایی که AISI D6 فولادی پرکربن و سختی‌پذیر است، برای کاهش تنش‌های داخلی و افزایش سختی‌پذیر است، برای کاهش تنش‌های داخلی و افزایش چرمگی و انعطاف‌پذیری، روش آستمپرینگ<sup>۱</sup> برای خنک کاری آن استفاده شده است. بدین منظور، پس از آستینیت کامل، نمونه‌ها در حمام نمک  $200^{\circ}\text{C}$  تا  $250^{\circ}\text{C}$  (دماهی درست قبل از تشکیل مارتنزیت ( $M_s$ )) سریع سرد شده تا دگرگونی نقاط مختلف تقریباً همزمان انجام شود و به اندازه‌ای در این دما نگه

1. Austempering

### ۳- سیستم فراصوتی

مطابق شکل ۲، تجهیزات لازم برای انجام آزمون شامل دستگاه فرستنده-گیرنده<sup>۲</sup> فراصوتی ساخت شرکت پانامتریکس<sup>۳</sup> مدل PR 5072 کارت تبدیل آنالوگ به دیجیتال ساخت شرکت گیج<sup>۴</sup> مدل کامپوسکوپ ۱۴۱۰۰<sup>۵</sup> با حداقل نرخ داده‌برداری ۱۰۰ MHz، پروب‌های فراصوتی غوطه‌وری و عرضی نرمال است. قسمت اصلی یک سیستم فراصوتی دستگاه فرستنده-گیرنده است که وظیفه ایجاد پالس‌های الکترونیکی مناسب برای تحریک پروب‌های فراصوتی را بر عهده دارد. پالس‌های تولیدی به کمک ماده واسط (ماده‌ای که بین پروب و قطعه کار قرار می‌گیرد و از مستهلكشدن امواج در هوا جلوگیری می‌کند) وارد قطعه کار شده و پس از یک رفت‌وبرگشت، توسط پروب دریافت و برای تقویت به بخش گیرنده ارسال می‌شود. سپس سیگنال‌های پیوسته تقویت شده، توسط مبدل آنالوگ به دیجیتال (A/D) به سیگنال گستته، که امکان ذخیره‌سازی و تحلیل آن‌ها آسان‌تر است، تبدیل می‌شوند. با ارسال سیگنال‌ها به واحد پردازش داده‌ها (که معمولاً شامل یک کامپیوتر صنعتی است)، امکان تحلیل نتایج با استفاده از نرم‌افزارهای مختلف وجود دارد. علاوه بر این، این واحد وظیفه کنترل سایر قسمت‌های سیستم را نیز بر عهده دارد.

در این تحقیق، از روش غوطه‌وری برای اندازه‌گیری سرعت‌های موج طولی و از روش تماسی برای اندازه‌گیری سرعت‌های موج عرضی استفاده شده است. در روش غوطه‌وری سرعتی از آب به عنوان ماده واسطه بین پروب و قطعه کار قرار گرفته و اثر ناشی از فشار دست بر روی پروب حذف می‌شود. به همین دلیل نتایج حاصل از آن دقیق‌تر بوده و قابلیت تکرارپذیری بالاتری دارد.

در این روش، از پروب متمنکرنده<sup>۶</sup> MHz ۱۵ برای ارسال و دریافت امواج طولی به داخل قطعه کار استفاده شده است. در پروب‌های متمنکرنده، برای کاهش میزان گسترده‌گی و استهلاک امواج و همچنین ایجاد امواج پرانرژی، از لنزهایی با انحنای مشخص استفاده می‌شود. شکل ۲-۲-ب چیدمان آزمایش‌ها را با روش غوطه‌وری نشان می‌دهد. برای

$$VHN = \frac{1.854 F}{d^2} \quad (1)$$

که در آن  $d$  قطر متوسط اثر هرم و  $F$  نیروی وارد شده است. در این تحقیق سختی‌سنگی با دستگاه والپرت<sup>۷</sup> ساخت کشور آلمان و با اعمال نیروی ۵۰ کیلونیوتون انجام شده است. برای هر نمونه سختی، سه نقطه هم‌راستا (دو گوشه و مرکز سطح فوقانی قطعه) اندازه‌گیری شده و متوسط آن‌ها به عنوان سختی معادل در نظر گرفته شده است.

### ۴- اندازه‌گیری چگالی

سپس چگالی نمونه‌ها با دستگاه بسیار دقیق با رزو لوشن ۰/۰۰۰۱ گرم اندازه‌گیری شد. اساس اندازه‌گیری این دستگاه بر پایه روش غوطه‌وری ارشمیدس بود که طبق آن در حین انجام آزمایش باید تمام سطح قطعه به طور کامل در آب فرو رود. بعد از محاسبه وزن خشک و وزن در حالت غوطه‌وری قطعه، با استفاده از معادله (۲) چگالی نمونه‌ها محاسبه شد [۱۶].

وزن خشک قطعه

$$(2) \text{ چگالی } = \frac{(\text{وزن خشک قطعه} - \text{وزن قطعه در غوطه وری})}{\text{چگالی آب}}$$

### ۵- متالوگرافی

برای بررسی و مطالعه ساختمان سطح مقاطع نمونه‌ها و بررسی توزیع فازها، همه نمونه‌ها متالوگرافی شدند. بدین منظور مقطعی از نمونه مورد نظر، که دقیقاً خواصی مشابه سایر قسمت‌های نمونه دارد، جدا شد [۱۷]. برای اینکه کمترین تغییر میکروساختاری در سطح مقطع برش‌زده شده ایجاد گردد و مقطع برش عمود بر محور قطعه باشد، نمونه‌ها با واپرکات برش زده شدند. بعد از اینکه سطح نمونه کاملاً صیقلی و آینه‌ای شد، سطوح نمونه‌ها با محلول نایتال ۴ درصد (۴۸ گرم متانول + ۲ گرم اسید نیتریک) و ۶ درصد (۴۷ گرم متانول + ۳ گرم اسید نیتریک) [۱۳] اج شدند. در این عمل، مرزدانه‌ها و مناطق پرانرژی فلزات توسط محلول خورده شده و دانه‌بندی نمونه‌ها آشکار می‌شود. فازهای مختلف در مقابل ماده خورنده با شدت‌های متفاوت خورده شده و همین امر موجب تشخیص آن‌ها از یکدیگر خواهد شد. در نهایت، با استفاده از میکروسکوپ نوری، تصویر میکروساختارهای نمونه‌ها با بزرگنمایی ۸۰۰x تهیه شده است.

1. Wolpert

2. Pulser-receiver

3. Panametrics

4. Gage

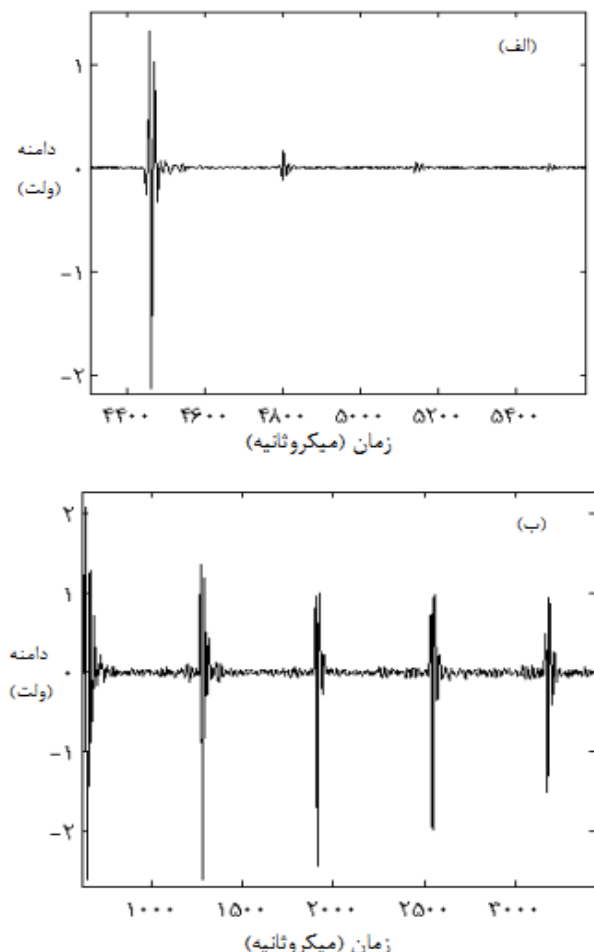
5. Compuscope 14100

6. Focus probe

$$V = \frac{kx}{(t_m - t_n)} \quad (3)$$

که در آن  $x$  فاصله رفت و برگشت موج (دو برابر ضخامت قطعه)،  $t_n$  و  $t_m$  زمان  $m$  امین و  $n$  امین موجی است که به صورت رفت و برگشتی داخل قطعه کار را می‌پیمایند.  $k$  هم برابر اختلاف  $m$  و  $n$  (شماره اکوها) است.

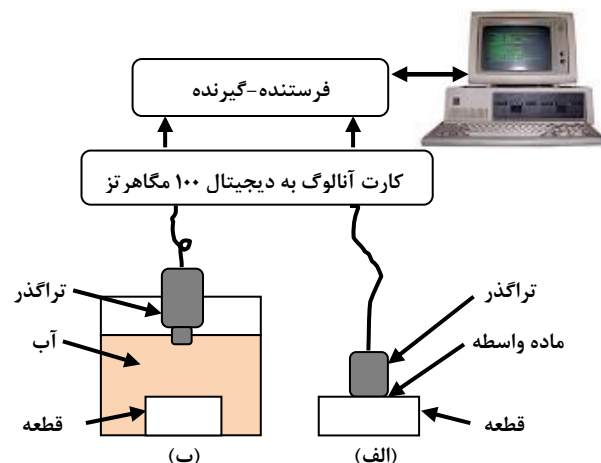
بعد از اینکه سیگنال برگشتی از داخل قطعه کار، توسط کارت آنالوگ به دیجیتال، دریافت و ذخیره‌سازی شد، جهت انجام محاسبات دقیق‌تر سیگنال به محیط نرم‌افزار مطلب برد شده است. شکل ۳ نمونه‌ای از سیگنال‌های دریافتی از قطعه کار را نشان می‌دهد. به دلیل اینکه طول موج امواج فراصوتی عرضی کوتاه‌تر است، این موج حساسیت بیشتری به تغییرات میکروساختارها داشته و برای تشخیص اختلافات جزئی آن‌ها مناسب‌تر است [۲۱، ۲۲].



شکل ۳ نمونه‌ای از سیگنال‌های دریافتی از قطعه کار، (الف) موج طولی (ب) موج عرضی

جلوگیری از زنگ‌زدگی محلول خاصی به آب اضافه شده است. مطابق استاندارد ASTM [۱۹، ۲۰] در حین انجام آزمایش‌ها ماده واسطه (آب به علاوه ماده ضدزنگ) باید تمیز و بدون هر گونه حباب هوا باشد و نباید سطح مورد آزمایش را آلوده کند. لوله جستجو<sup>۱</sup> باید طوری بالای قطعه قرار گیرد که امواج فراصوت به صورت عمود به سطح قطعه برخورد کرده و اکوی سطح جلویی قطعه با بیشترین دامنه ظاهر شود.

مطابق شکل ۲-الف، در روش تماسی، برای تولید امواج عرضی، از پروب MHz ۵ و از عسل به عنوان ماده واسطه (ماده‌ای با ویسکوزیته بالا) بین پروب و قطعه کار استفاده شده است. برای دستیافتن به نتایج مطلوب‌تر، در حین انجام آزمایش‌ها، فشار بر روی ماده واسطه طوری اعمال شد که سیگنال‌هایی با بیشترین دامنه دریافت شوند و در ادامه این فشار ثابت نگه داشته شد.



شکل ۲ چیدمان آزمایش فراصوتی، (الف) روش تماسی با پروب عرضی نرمال (ب) روش غوطه‌وری با پروب مت مرکز کننده

#### ۴- اندازه‌گیری سرعت امواج فراصوتی

برای اندازه‌گیری سرعت امواج فراصوتی از دو روش غوطه‌وری و تماسی استفاده شده است. اساس این دو روش، ارسال موج فراصوتی ایجاد شده در پروب به داخل قطعه و دریافت موج‌های برگشتی از داخل قطعه کار است. تفاوت این دو روش در نوع موج فراصوتی ایجاد شده (طولی یا عرضی) و نوع ماده واسطه است. برای اندازه‌گیری سرعت فراصوت از فرمول (۳) استفاده شده است [۲۰].

1. Search tube

$$G = \rho V_s^2 \quad (7)$$

$$K = \rho(V_l^2 - \frac{4}{3}V_s^2) \quad (8)$$

که در آن‌ها  $\rho$  چگالی ( $\text{kg}/\text{m}^3$ ),  $V_l$  سرعت طولی ( $\text{m}/\text{s}$ ),  $V_s$  سرعت عرضی ( $\text{m}/\text{s}$ ),  $\sigma$  نسبت پواسون،  $E$  مدول الاستیستیت ( $\text{Gpa}$ ),  $G$  مدول برشی ( $\text{Gpa}$ ) و  $K$  مدول حجمی ( $\text{Gpa}$ ) است. چگالی و خواص فراصوتی نمونه‌های بازپخت شده در جدول ۲ و خواص مکانیکی آن‌ها در جدول ۳ نشان داده شده‌اند.

جدول ۳ خواص مکانیکی نمونه‌های فولاد AISI D6

ردیف	نام نمونه	نسبت پواسون (GPa)	مدول برشی (GPa)	مدول سختی (GPa)	ویکرز (GPa)	شماره
۰/۳۰۰	۱۶۸/۳۹	۷۷/۸۷	۲۰۲/۴۱	۲۵۱/۸	۱	
۰/۳۰۱	۱۶۷/۶۸	۷۷/۰۹	۲۰۰/۵۴	۵۰۵/۵	۲	
۰/۲۹۸	۱۶۴/۹۶	۷۶/۸۷	۱۹۹/۶۱	۵۲۶/۶	۳	
۰/۲۹۹	۱۶۶/۱۳	۷۷/۰۷	۲۰۰/۲۴	۵۶۹/۸	۴	
۰/۳۰۰	۱۶۴/۲۱	۷۵/۹۷	۱۹۷/۴۶	۶۹۵/۸	۵	
۰/۳۰۱	۱۶۲/۷۴	۷۴/۴۸	۱۹۳/۸۶	۷۳۶/۴	۶	

شکل ۴ تصاویر متالوگرافی نمونه‌های AISI D6 را نشان می‌دهد. با مقایسه نمونه‌های ۲ تا ۴، مشاهده می‌شود که با افزایش دمای بازپخت، تعداد نواحی سفیدرنگ، که کاربیدهای آلیاژی و سمنتیت هستند، افزایش یافته و تمایل آن‌ها به کروی شکل شدن بیشتر می‌شود.

مقایسه نمونه بدون عملیات حرارتی و نمونه‌های بازپختی، تفاوت پس‌زمینه آن‌ها را نشان می‌دهد. این زمینه قهوه‌ای رنگ در نمونه‌های بازپختی مارتنتزیت بازپخت شده است که با افزایش دمای بازپخت درصد آن‌ها نیز بیشتر می‌شود. درصد بالای عنصر آلیاژی، بهویژه کرم، باعث شده که کاربیدهای این عناصر از همان ابتدا به صورت لکه‌های نسبتاً بزرگ ظاهر شوند. با افزایش دمای بازپخت، نوع کاربیدها نیز تغییر می‌کند، که اثر مستقیم بر روی سختی و چگالی نمونه‌ها دارد. در ادامه ترتیب شکل‌گیری و ویژگی این کاربیدها شرح داده خواهد شد.

شکل ۵ روند تغییر سختی نمونه‌ها را با تغییر دمای بازپخت نشان می‌دهد. با کاهش دمای بازپخت، سختی افزایش می‌یابد و سختی تمام نمونه‌های بازپخت شده نیز از نمونه اولیه بیشتر است.

برای به دست آوردن دقیق سرعت فراصوت، از تکنیک کراس کورولوشن<sup>۱</sup> استفاده شده است.تابع تعریفی این تکنیک برای دو سیگنال  $x(t)$  و  $y(t)$  مطابق معادله ۴ تعریف می‌شود.<sup>[۳]</sup>

$$R_{xy}(t) = \lim_{T \rightarrow \infty} \frac{1}{T} \int_0^T x(\tau)y(t + \tau)d(\tau) \quad (4)$$

که در آن  $t$  شاخص زمان سیگنال‌های  $x$  و  $y$  و  $\tau$  تأخیر زمانی سیگنال‌های مورد استفاده است.

برای دستیابی به نتایج دقیق‌تر، هر یک از آزمایش‌ها حداقل ۳ تا ۵ بار انجام شده و نهایتاً میانگین نتایج به دست آمده است. نتایج به دست آمده از انجام آزمایش‌ها در جدول ۲ خلاصه شده است.

جدول ۲ خواص فراصوتی نمونه‌های فولاد AISI D6

ردیف	نام نمونه	چگالی ( $\text{kg}/\text{m}^3$ )	سرعت طولی ( $\text{m}/\text{s}$ )	سرعت عرضی ( $\text{m}/\text{s}$ )	شماره
۱/۸۷	۳۳۰۳/۱	۶۱۷۵/۷	۷۱۳۷/۴	۳۳۰۳/۱	۱
۱/۸۷	۳۲۹۵/۹	۶۱۷۳/۷	۷۰۹۶/۳	۳۲۹۵/۹	۲
۱/۸۷	۳۲۹۵/۳	۶۱۴۶/۷	۷۰۷۸/۹	۳۲۹۵/۳	۳
۱/۸۷	۳۲۹۰/۱	۶۱۴۵/۶	۷۱۱۹/۵	۳۲۹۰/۱	۴
۱/۸۷	۳۲۵۵/۵	۶۰۸۶/۱	۷۱۶۸/۲	۳۲۵۵/۵	۵
۱/۸۸	۳۲۲۷/۳	۶۰۷۲/۴	۷۱۰۶/۵	۳۲۲۷/۳	۶

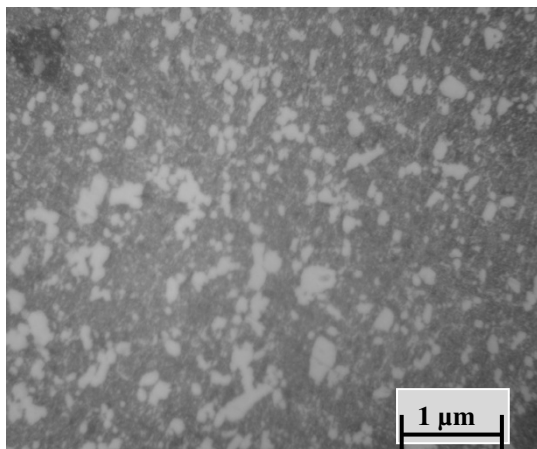
## ۵- تحلیل نتایج

خواص الاستیکی فلزات بر اساس نیروهای بین اتمی تمام اتم‌های فلزات تخمین زده می‌شود. بنابراین کوچک‌ترین انحلال اتم‌ها یا تغییر موقعیت آن‌ها به وسیله عملیات حرارتی، بر روی مقدار خواص الاستیکی آن‌ها، اثر خواهد گذاشت. با دانستن سرعت طولی و عرضی امواج فراصوتی، می‌توان خواص مکانیکی میکروساختارها را مطابق معادلات (۵) تا (۸) به دست آورد [۲۳، ۲۰]. این در حالی است که در روش‌های معمولی، به دلیل اختلاف بسیار جزئی این خواص، معمولاً نمی‌توان تمایزی بین خواص میکروساختارها به صورت دقیق مشاهده کرد.

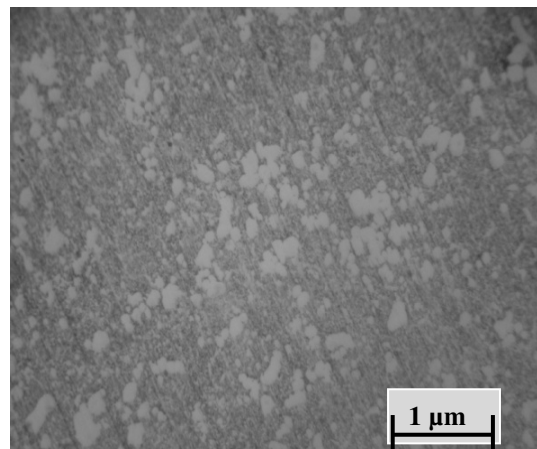
$$\sigma = \frac{1 - 2(\frac{V_s}{V_l})^2}{2(1 - (\frac{V_s}{V_l})^2)} \quad (5)$$

$$E = \frac{\rho V_s^2 (3V_l^2 - 4V_s^2)}{V_l^2 - V_s^2} \quad (6)$$

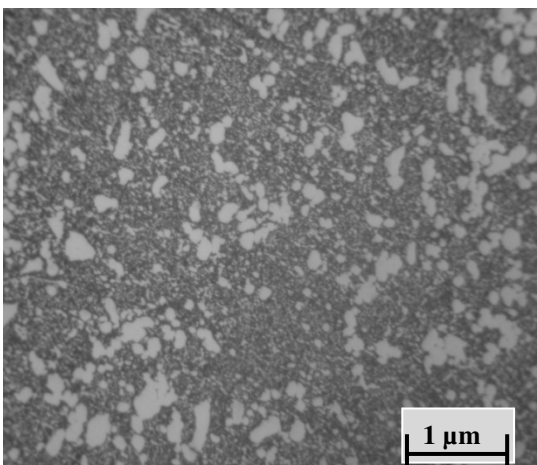
### 1. Cross-Correlation



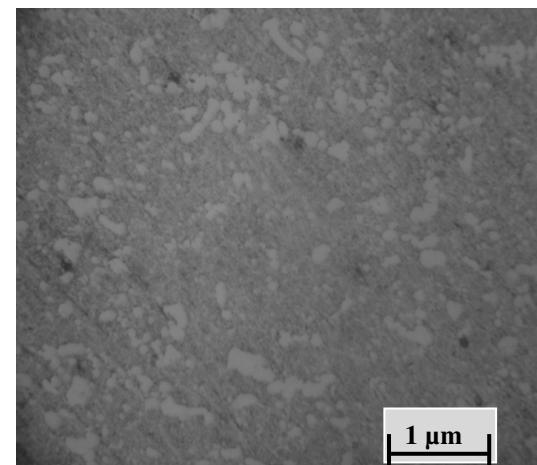
نمونه اول (بدون بازپخت)



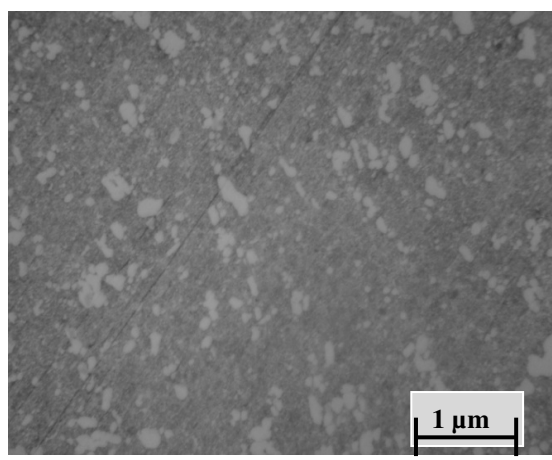
نمونه دوم (بازپخت در ۵۷۰ °C)



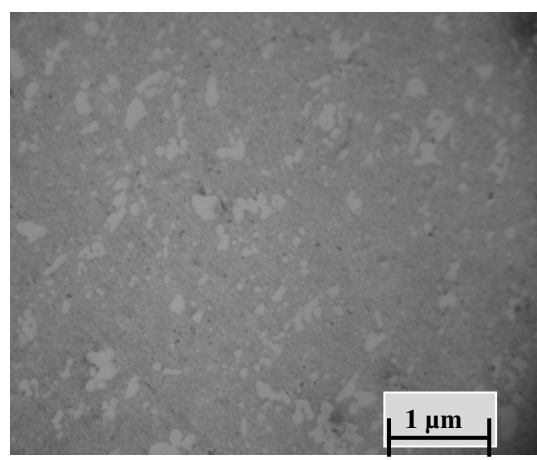
نمونه سوم (بازپخت در ۵۶۰ °C)



نمونه چهارم (بازپخت در ۵۴۰ °C)



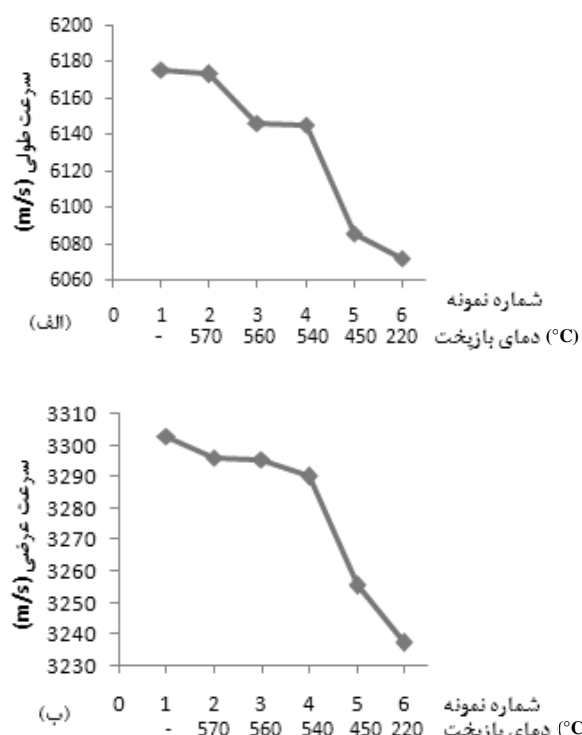
نمونه پنجم (بازپخت در ۴۵۰ °C)



نمونه ششم (بازپخت در ۲۲۰ °C)

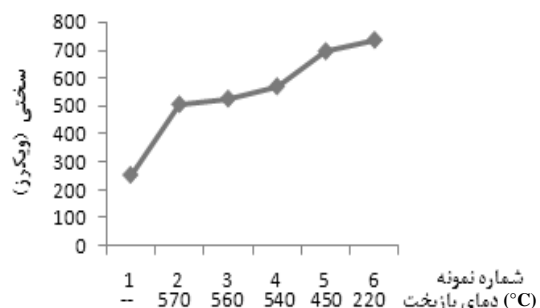
شکل ۴ تصاویر متالوگرافی نمونه‌های AISI D6 با بزرگنمایی 800x

همین روند تغییرات در نمونه‌های بازپختی AISI D6 می‌توان، علاوه بر تایید آزمایش‌ها، این نتیجه را نیز بسط داد. مقایسه خواص به دست آمده برای میکروساختارها در این تحقیق با خواص میکروساختارهای مشابه در منابع معتبر [۲۵، ۱۴، ۲۴، ۱۳] صحت نتایج به دست آمده را تایید می‌کند.



شکل ۶ خواص فراصوتی نمونه‌های فولاد AISI D6. (الف) سرعت طولی (ب) سرعت عرضی

نمودار روند تغییرات خواص مکانیکی در شکل ۷ نشان داده است. از روی نتایج جدول ۳ و نمودارهای شکل ۷، می‌توان نتیجه گرفت که روند تغییر مدول یانگ، مدول برشی و مدول حجمی با روند تغییر سرعت‌های امواج طولی و عرضی آن‌ها یکسان است و در بین نمونه‌های فولاد AISI D6، نمونه اول بالاترین و نمونه ششم پایین‌ترین مقدار خواص مکانیکی را دارد. نحوه تغییر چگالی در شکل ۸ نشان داده شده است. AISI D6 فولادی است با تغییر ابعادی بسیار کم [۱۳] و به همین دلیل است که درصد تغییرات چگالی آن کم است، ولی با این وجود در حین فرایند بازپخت تغییراتی صورت می‌گیرد که باعث تغییر جزئی میکروساختارها و خواص مکانیکی و فرراصوتی نمونه‌ها می‌شود.



شکل ۵ تاثیر دماهای بازپخت بر روی سختی نمونه‌ها

علت افزایش سختی در مرحله بازپخت تبدیل آستانیت باقی‌مانده به مارتنتیت و ایجاد کاربیدهای آلیاژی است. در فرایند بازپخت، با افزایش دما، مارتنتیت به میکروساختارهای دیگری تبدیل می‌شود که ترتیب تشکیل آن‌ها کاربید اپسیلن<sup>۱</sup>، کاربید اتا<sup>۲</sup>، سمنتیت، Cr<sub>7</sub>C<sub>3</sub> و نهایتاً Cr<sub>23</sub>C<sub>6</sub> می‌باشد. تحقیقات نشان می‌دهد که سختی کاربیدهای تشکیل شده نیز با همان ترتیب کاهش می‌یابد؛ یعنی سختی Cr<sub>23</sub>C<sub>6</sub> نسبت به سایر کاربیدها کمتر است [۱۱، ۱۰].

همان‌طور که در شکل ۶ دیده می‌شود، نحوه تغییرات سرعت‌های طولی و عرضی امواج فرراصوتی روند مشابهی دارند و با افزایش دماهای بازپخت و کاهش سختی میکروساختارها، مقدار سرعت‌ها افزایش می‌یابد.

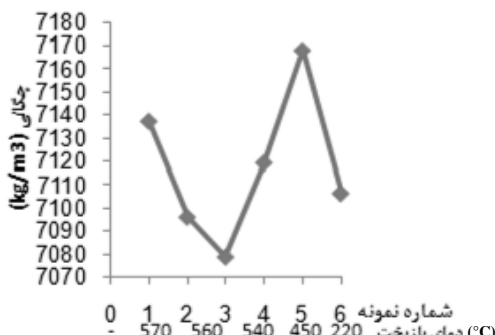
نمودارها نشان می‌دهند که سرعت نمونه بدون عملیات حرارتی از همه نمونه‌های بازپخت شده بیشتر است و انجام عملیات‌های سختکاری و بازپخت سرعت‌های فرراصوتی را کلا کاهش می‌دهد. نسبت سرعت طولی به عرضی تقریباً ثابت و برابر ۱/۸۷ می‌باشد؛ پس با دانستن یکی از سرعت‌ها می‌توان سرعت دیگر را با دقت مناسبی تخمین زد. ساختار نمونه‌ها قبل از بازپخت اکثراً مارتنتیتی و پس از اتمام بازپخت ساختاری با زمینه یکنواخت فریت<sup>۳</sup> هم محور است. یعنی در حین بازپخت امکان میکروساختارهای سمنتیت و بینیت نیز وجود دارد.

تحقیقات نشان داده است، با تشکیل میکروساختارهای فریت، پرلیت درشت، پرلیت ریز، سمنتیت، بینیت و مارتنتیت در فولادها (فولادهای متوسط کربن کم‌آلیاژ، AISI 4140 و ۳۸ NiCr Mo4 [۹، ۵، ۸]، به ترتیب سختی آن‌ها افزایش و سرعت امواج فرراصوتی در آن‌ها کاهش می‌یابد. با مشاهده

1. ε -carbide

2. Eta carbide

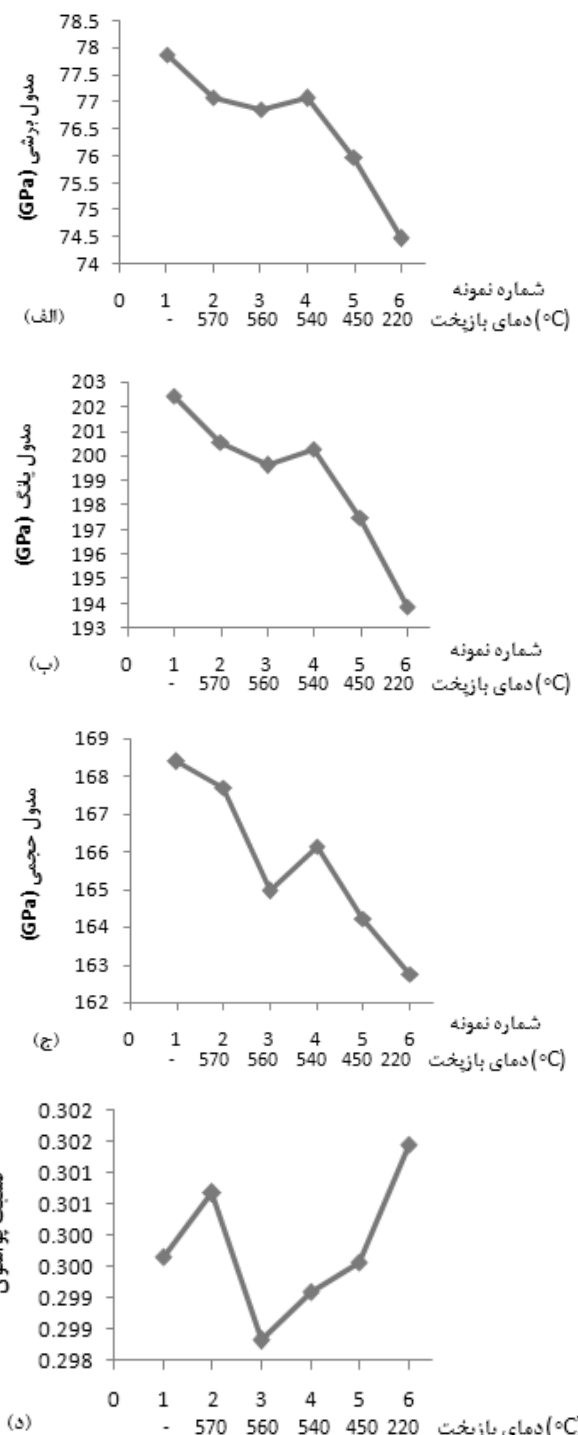
صورت ذرات بسیار ریز در ساختار مارتنتزیت و در تمامی نقاط آن، نظریر داخل صفحات مارتنتزیتی و در فصل مشترک‌های آن‌ها، تشکیل می‌شود.



شکل ۸ تاثیر دماه بازپخت بر روی چگالی نمونه‌ها

با تشکیل کاربیدهای انتقالی، درصد کربن مارتنتزیت کم شده و شبکه بلوری نامتعادل bct مارتنتزیت به ساختار بلوری bcc فریت تبدیل می‌شود. در ادامه، با بالا رفتن دماه بازپخت، صفحات فریتی رشد کرده و زمینه یکنواخت فریت هم محور به وجود می‌آید. در  $200^{\circ}\text{C}$  تا  $300^{\circ}\text{C}$ ، آستنیت باقی‌مانده تجزیه و تبدیل به مخلوط فریت و سمنتیت می‌شود. تجزیه آستنیت باقی‌مانده ضمن بازپخت مطابق نمودار IT شده و منجر به افزایش ابعاد قطعه می‌شود. در  $250^{\circ}\text{C}$  تا  $350^{\circ}\text{C}$  کاربیدهای انتقالی و مارتنتزیت کم کربن توسط فریت و سمنتیت جایگزین می‌شوند. با افزایش دماه بازپخت، سمنتیت با ساختار بلوری اورتورومبیک به  $\text{Cr}_7\text{C}_3$  با ساختار بلوری شش وجهی تبدیل شده و با ادامه افزایش دماه بازپخت،  $\text{Cr}_{23}\text{C}_6$  با ساختار مکعبی تشکیل می‌شود. تشکیل این کاربیدها منجر به ایجاد تنش در ساختار، افزایش حجم و کاهش چگالی می‌شود. همراه با رسوب کاربیدهای آلیاژی، درصد کربن و عناصر آلیاژی زمینه کاهش می‌یابد و بنابراین دماه  $M_s$  آستنیت باقی‌مانده که هنوز تجزیه نشده است، افزایش خواهد یافت.

در فولاد AISI D6 که حاوی کربن زیاد و عناصر کاربیدساز (به ویژه کرم) است، به دلیل پایین بودن  $M_f$  و  $M_s$ ، دگرگونی تبدیل آستنیت به مارتنتزیت معمولاً به صورت کامل انجام نشده و مقداری آستنیت ناپایدار در سیستم می‌ماند. در ضمن سرد کردن از دماه بازپخت، آستنیت باقی‌مانده به مارتنتزیت تبدیل می‌شود و در نتیجه باعث افزایش حجم می‌شود. ساختار



شکل ۷ تاثیر دماه بازپخت بر روی خواص مکانیکی نمونه‌های فولاد AISI D6: (الف) مدول برنشی (ب) مدول یانگ (ج) نسبت پواسون حجمی (د) نسبت پواسون

تا قبل از دماه  $200^{\circ}\text{C}$  کاربیدهای انتقالی نظریر کاربید اپسیلن (E) و یا کاربید اتا (η) تشکیل می‌شود. این کاربیدها به

- [5] Murthy G. V. S., Sridhar G., Kumar A., Jayakumar T., "Characterization of Intermetallic Precipitates in a Nimonic Alloy by Ultrasonic Velocity Measurements", *Materials Characterization*, Vol. 60, 2009, pp. 234-239.
- [6] Carreon H., Ruiz A., Medina A., Barrera G., Zarate J., "Characterization of the Alumina-Zirconia Ceramic System by Ultrasonic Velocity Measurements", *Materials Characterization*, Vol. 60, 2009, pp. 875-881.
- [7] Zawrah M. F., El-Gazery M., "Mechanical Properties of SiC Ceramics by Ultrasonic Nondestructive Technique and its Bioactivity", *Materials Chemistry and Physics*, Vol. 106, 2007, pp. 330-337.
- [8] Moro A., Farina C., Rossi F., "Measurement of Ultrasonic Wave Velocity in Steel for Various Structures and Degrees of Cold-Working", *NDT International*, Vol. 13, 1980, pp. 169-175.
- [9] Gur C. H., Tuncer B. O., "Characterization of Microstructural Phases of Steels by Sound Velocity Measurement", *Materials Characterization*, Vol. 55, 2005, pp. 160- 166.
- [10] Krauss, G., *Steels: Heat Treatment and Processing Principles*, Ohio, ASM International, 1993.
- [۱۱] گلزار محمدعلی، اصول کاربرد عملیات حرارتی فولادها، مرکز نشر اصفهان، دانشگاه صنعتی اصفهان، ۱۳۷۹.
- [۱۲] ولیام اسمیت، ساختار، خواص و کاربرد آلیاژهای مهندسی، ترجمه علی اکبر اکرامی، مرتضی سید ریحانی، دانشگاه صنعتی شریف تهران، موسسه انتشارات علمی، ۱۳۸۰.
- [13] Harry C., *Heat Treater's Guide: Practices and Procedures for Irons and Steels*, Ohio, ASM International, 1990.
- [14] ASM Handbook, Vol. 4, *Heat Treating*, Ohio, ASM International, 1991.
- [15] ASTM Standard E 92-82 (Reapproved 2003), *Standard Test Method for Vickers Hardness of Metallic Materials*.
- [16] Nishara Begum A., Rajendran V., Jayakumar T., Palanichamy P., Priyadharsini N., Aravindan S., Raj B., "On-Line Ultrasonic Velocity Measurements for Characterisation of Microstructural Evaluation during Thermal Aging of  $\beta$ -Quenched Zircaloy-2", *Materials Characterization*, Vol. 58, 2007, pp. 563-570.
- [۱۷] خاکزاد امیر، متالوگرافی، مفاهیم و آزمایشگاه، تهران، طراح، ۱۳۸۷.
- [18] ASTM Standard, Designation:E 214, Standard Practice for Immersed Ultrasonic Examination by the Reflection Method Using Pulsed Longitudinal Waves.
- [19] ASTM Standard, Designation: E 1001, Standard Practice for Detection and Evaluation of Discontinuities by the Immersed Pulse-Echo

آستنیت با شبکه بلوری fcc نسبت به تمامی محصولات حاصل از تجزیه آن فشرده‌تر است. بنابراین، هنگامی که آستنیت به فریت، پرلیت، بینیت، مارتنتزیت و یا مخلوطی از آن‌ها تبدیل می‌شود، حجم افزایش خواهد یافت.

## ۶- نتیجه‌گیری و جمع‌بندی

در این مقاله، با اندازه‌گیری سرعت طولی و عرضی امواج فرacoتی در فولاد AISI D6، خواص مکانیکی این فولاد، با دقت بسیار بالایی، بدست آمد. مزیت استفاده از این روش نسبت به روش‌های مورد استفاده پیشین غیرمخرب بودن، سریع‌تر و دقیق‌تر بودن آن است. روند تغییرات سختی، سرعت امواج طولی و عرضی، مدول‌های یانگ، برشی و حجمی با تغییر دمای بازپخت مشخص و منظم است و با کاهش دمای بازپخت سختی نمونه‌ها افزایش خواص مکانیکی و فرacoتی نمونه‌ها کاهش می‌یابد. با دانستن این روند، می‌توان برای رسیدن به خواص مکانیکی مورد نظر، به راحتی دمای بازپخت نمونه را تخمین زد. این امر موجب صرفه‌جویی در هزینه و زمان خواهد شد. با دقت در نتایج بدست آمده از روش‌های غیرمخرب فرacoتی، می‌توان مشاهده کرد که اختلاف بین خواص مکانیکی برخی از نمونه‌ها به قدری ناچیز است که با روش‌های مخرب مرسوم به هیچ وجه نمی‌توان آن‌ها را تشخیص داد.

## ۷- مراجع

- [۱] الوك نياير، راهنمای جامع فولاد، ترجمه حسن غياثوند، حجت الله عالی، محمدرضا رهگذر، تهران، جهان جام جم، ۱۳۸۴.
- [2] Vasudevan M., Palanichamy P., "Characterization of Mmicrostructural Changes During Annealing of Cold Worked Austenitic Stainless Steel using Ultrasonic Velocity Measurements and Correlation with Mechanical Properties," *Materials Engineering and Performance*, Vol. 11, 2002, pp. 169-179.
- [3] Kumar A., Jayakumar T., Raj B., Ray K., "Characterization of Solutionizing Behavior in VT14Titanium Alloy using Ultrasonic Velocity and Attenuation Measurements," *Materials Science and Engineering A*, Vol. 360, 2003, pp. 58-64.
- [4] Rajendran V., Palanivelu N., Chaudhuri B. K., "A Device for the Measurement of Ultrasonic Velocity and Attenuation in Solid Materials Under Different Thermal Conditions", *Measurement*, Vol. 38, 2005, pp. 248-25.

- in a Nimonic Alloy by Ultrasonic Velocity Measurements”, *Materials Characterization*, Vol. 60, 2009, pp. 234-239.
- [23] Brandes E. A., Brook G. B., *Smithells Metals Reference Book*, Seventh Edition, Oxford, Butterworth-Heinemann, 1998.
- [24] Prabhudev K. H., *Handbook of Heat Treatment of Steels*, 8th Reprint, New York, Tata McGraw-Hill, 2003.
- [25] www.matweb.com.
- Ultrasonic Method Using Longitudinal Waves.
- [20] ASTM Standard, Designation: E 797-95 Standard Practice for Measuring Thickness by Manual Ultrasonic Pulse-Echo Contact Method.
- [21] Palani chamy P., Joseph A., Jayakumar T., Raj B., “Ultrasonic Velocity Measurements for Estimation of Grain Size in Austenitic Stainless Steel”, *NDT&E International*, Vol. 28, 1995, pp. 179-185.
- [22] Murthy G. V. S., Sridhar G., Kumar A., Jayakum T., “Characterization of Intermetallic Precipitates